

# Orthotropic Shear-Elastic Plate の座屈解析について

愛媛大学 正員 見次繁光, 正員 大賀水田生  
徳山高専 正員 重松恒美, 正員○原 隆

## 1. まえがき

ラーメン構造あるいはトレス構造の中空板やサンドイッチ板は、高密度の表皮と低密度の心材を組みあわせた軽量構造荷材である。これらは軽量で曲げ剛性が大きいといふ構造的に有利な断面特性をもつが、心材のせん断剛性が小さくせん断変形が大きいため "Shear-Elastic Plate" として扱われる。本研究では、多くの Shear-Elastic Plate に、巨視的に直交異方性の心材が用いられることが考慮して、直交異方性の Shear-Elastic Plate の座屈解析を行なう。解析にあたりては伝統的トリックス法を用い、直交方向の心材の剛性化などをパラメータとして、またまずは境界条件のままで数値計算を行ない座屈係数を求めた。また、限られた条件のもとで求められた従来の解との比較検討を行なった。

## 2. 解析方法

図1に示すように一方向に等分布圧縮荷重を受け、荷重に垂直な二辺が単純支持された直交異方性の Shear-Elastic Plate の断面力のつりあいは、心材のみの直交異方性を考慮すれば、

$$\left. \begin{aligned} \frac{\partial M_x}{\partial x} + \frac{\partial M_{yx}}{\partial y} - Q_x &= 0, \quad \frac{\partial M_y}{\partial y} + \frac{\partial M_{xy}}{\partial x} - Q_y = 0, \quad M_{xy} = M_{yx} \\ \frac{\partial Q_x}{\partial x} + \frac{\partial Q_y}{\partial y} - P_c \frac{\partial^2 w}{\partial x^2} &= 0 \end{aligned} \right\} \quad (1)$$

ここに、 $M_x, M_y, M_{xy}$ ;  $\nu - X$  など、 $Q_x, Q_y$ ; せん断力、 $w$ ; ベルヌーイ、 $P_c$ ; 等分布圧縮力

また、変位と断面力の関係式は、

$$\left. \begin{aligned} M_x &= K \left( \frac{\partial \varphi_x}{\partial x} + \nu \frac{\partial \varphi_y}{\partial y} \right), \quad M_y = K \left( \frac{\partial \varphi_y}{\partial y} + \nu \frac{\partial \varphi_x}{\partial x} \right) \\ M_{xy} &= M_{yx} = \frac{1}{2}(1-\nu) K \left( \frac{\partial \varphi_x}{\partial y} + \frac{\partial \varphi_y}{\partial x} \right) \\ Q_x &= S_x \cdot Y_{xz}, \quad Q_y = S_y \cdot Y_{yz} \end{aligned} \right\} \quad (2)$$

ここで、 $K$ ; 曲げ剛性、 $S_x, S_y$ ; せん断剛性、 $Y_{xz}, Y_{yz}$ ; せん断ひずみ、 $\nu$ ; ポアソン比、 $\varphi_x = Y_{xz} - \partial w / \partial x$ ,  $\varphi_y = Y_{yz} - \partial w / \partial y$

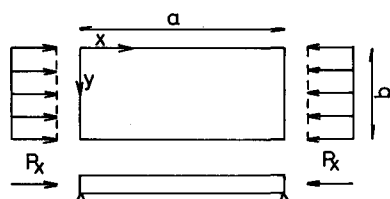


図1 荷重・支持状態

図1の支持条件を満足する変位の式は

$$\left. \begin{aligned} w &= \bar{w} \sin \frac{m\pi}{a} x, \quad \varphi_x = \bar{\varphi}_x \cos \frac{m\pi}{a} x \\ Y_{yz} &= \bar{Y}_{yz} \sin \frac{m\pi}{a} x \end{aligned} \right\} \quad (3)$$

ここで、 $\bar{w}, \bar{\varphi}_x, \bar{Y}_{yz}$  は  $x$  のみの関数であり、他の変位、断面力も式(3)を用いて同様にあらわされる。

状態量ベクトルとして

$$\mathbf{Z} = \{\bar{w}, \bar{\varphi}_x, \bar{Y}_{yz}, P_c, M_y, Q_y\}^T \quad (4)$$

を定義し、式(4)の関係式用ひて式(1), (2)を変形し、すな次の無次

$$\left( \frac{m\pi}{a} \right)^2 \begin{pmatrix} 0 & -1 & 0 & 0 & 0 & \sigma \\ 0 & 0 & \nu & 0 & 0 & \frac{1}{E(1-\nu)} \cdot 0 \\ 0 & -1 & 0 & \frac{2}{E(1-\nu)} & 0 & 0 \\ 1 & 0 & \frac{1}{E(1-\nu)} & 0 & -\nu & 0 \\ 0 & 0 & 0 & 1 & 0 & 1 \\ 1-Ek & 0 & 1 & 0 & 0 & 0 \end{pmatrix}$$

図2 係数マトリックス

元量を用いて変換し、

$$\sigma_x = \frac{S_x}{S_y}, \quad \varepsilon = \frac{\pi^2 K}{b^2 S_x}, \quad k = \frac{b^2 P_k}{\pi^2 K}, \quad \beta = \frac{b}{a} \quad (5)$$

こうに標準化された状態量  $\tilde{x}$  により表示すれば。

$$\frac{d}{dy} \tilde{x} = A \tilde{x} \quad (6)$$

図2にマトリックス  $A$  の成分が示されていく。

式(6)の解は、

$$\begin{aligned} \tilde{x} &= \Gamma \tilde{x}_0 = e^{Ay} \tilde{x}_0 \\ &= [I + Ay + \frac{1}{2!}(Ay)^2 + \frac{1}{3!}(Ay)^3 + \dots] \tilde{x}_0. \end{aligned} \quad (7)$$

ここに  $\Gamma$  が伝達マトリックスであり、通常は Cayley-Hamilton の原理により求められるが、本研究の場合には  $A$  の特性方程式の根が複雑で一括りを作るのが困難なため、式(7)の級数展開を行ふこととする。なお、 $A$  の特性方程式は、Wurmnest<sup>2)</sup>により求められたり特別な形に一致してあり、また等方性 ( $\beta = S_x/S_y = 1$ ) の場合に、Cayley-Hamilton の原理を利用して、解析時に伝達マトリックスが求められる。

### 3. 数値計算結果

式(7)で得られた伝達式より  $y=0$  の状態量  $\tilde{x}_0$  と  $y=b$  の状態量  $\tilde{x}_b$  を用いて座屈条件式が求められる。(図1参照)

図3、図4に両端単純支持(すなわち四辺単純支持)の Shear-Elastic Plate の座屈係数を示す。図3は式(5)の  $x$  方向の心材のせん断剛性比と直交異方性の比  $\beta$  パラメータとして、形状比  $\beta/\lambda$  と座屈係数の関係を示していく。  $\beta$  が一定の場合、  $\beta/\lambda$  が小さい ( $\beta/\lambda$  のせん断剛性が大きい) 方が座屈係数が大きい。また  $\beta = 0.5, \beta = 0.5$  の場合は、せん断座屈の座屈係数 ( $k = 1/\varepsilon = 2$ ) に近い値となる。図4は、  $1/\varepsilon$  が無限大のときの  $\beta$  と  $\lambda$  の関係をあらわしている。座屈係数の変化は、  $\beta$  が小さい部分でやや大きくなっているか、ほぼ直線変化を示していく。図中の黒丸は Plantema<sup>1)</sup>による解を示す。なお、他の境界条件に対しても、同様な手順を用いることにより座屈係数が求められていく。

### 4. 結論

本法で得られた四辺単純支持直交異方性 Shear-Elastic Plate の座屈係数は、Plantema<sup>1)</sup>の求めた解と同様であり、また、他の境界条件の解についても等方性 ( $\beta=1$ ) の Shear-Elastic Plate について得られた解が Wurmnest<sup>2)</sup>の求めた解と一致することより、本法の解は妥当であると言える。

F研究では、従来より解析が困難であった直交異方性の Shear-Elastic Plate の座屈解析を伝達マトリックス法により簡便に行なうことができる。同様に本法を用いることにより、解析の複雑化、補助技工有する直交異方性の Shear-Elastic Plate の座屈解析、心材の曲げ剛性を考慮した直交異方性の Shear-Elastic Plate の座屈解析が可能となる。多層の Shear-Elastic Plate の座屈解析を比較的容易に行なうものと思われる。

<参考文献> 1) F.F. Plantema ; Sandwich Construction, John Wiley & Sons (1966)

2) W. Wurmnest ; Zur Theorie schubelastischer Platten ; Stabilität von Rechteckplatten, Darmstadt (1970)

